## 5. 가스지구화학 탐사

• 탐사 분야에서 가스와 증기의

#### 장점

- 높은 이동성
- 지구화학적 물질과 수반
- 경제적 (심부의 잠두광상, 탄화수소 탐사)
- 야외에서 측정이 용이

#### 단점

- 계절/시간에 따라 매우 변화가 큼

#### 최근 가스지구화학이 각광받는 이유

과거

문제점

가스의 시료채취가 어려움

다른 가스들과의 반응 산화작용 대기에 의한 희석

생물학적인 반응 시료 용기 벽면에의 흡착

미량성분의 화학적 분석이 어려움

현재

해결된 점

휴대용 가스측정기 개발 및

정확도 증가

가스 크로마토그래피 개발

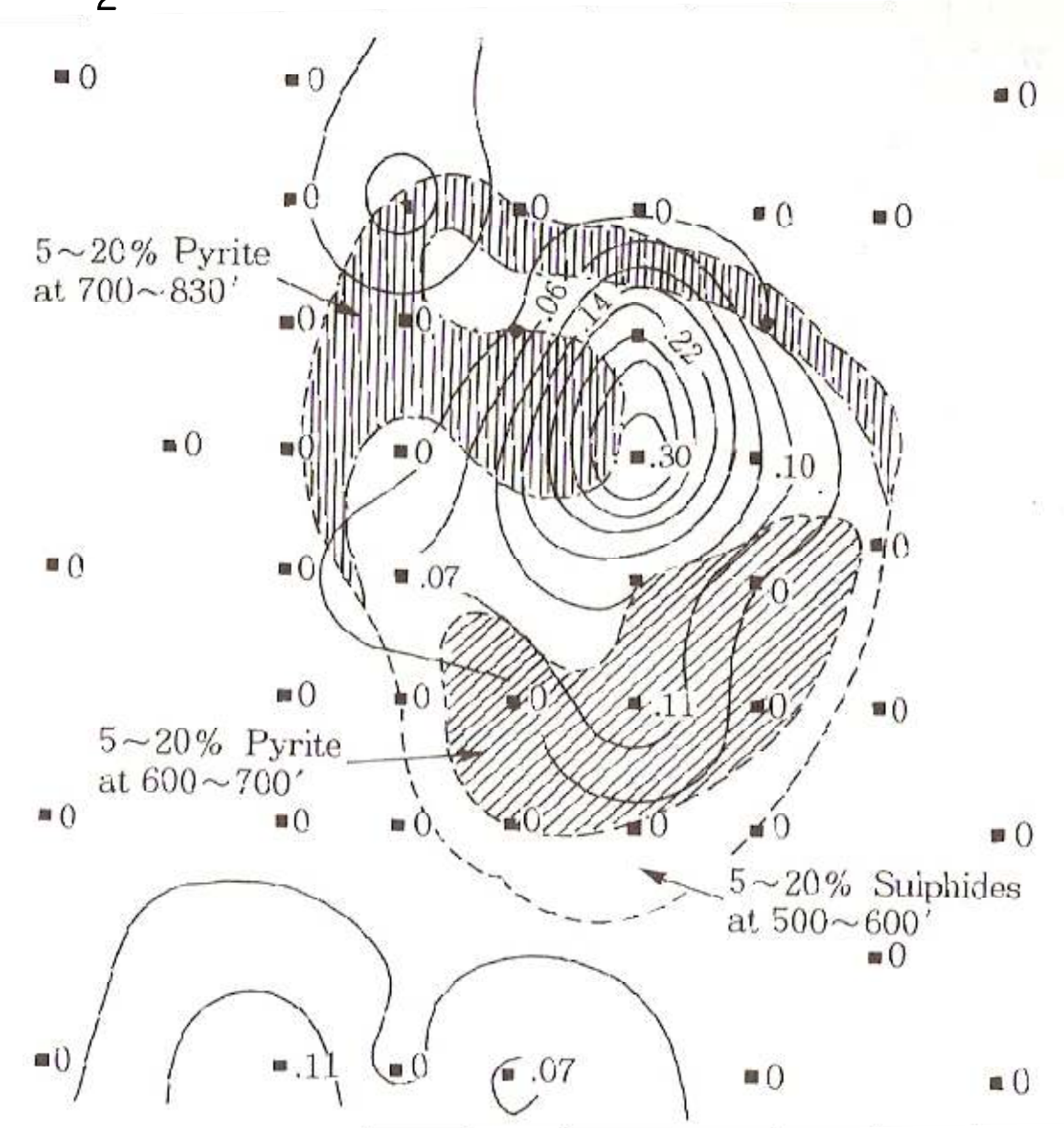
#### 자연적으로 발생하는 가스의 근원

- 대기가스(Atmospheric gases)
  - $-N_2$ ,  $O_2$ ,  $CO_2$
- 지하 심부로부터 유래된 가스(Deep-seated gases)
  - $-H_2$ ,  $CH_4$ ,  $H_2S$
- 방사성 가스(Radiogenic gases)
  - He, Rn
- 생물 기원의 가스(Biogenic gases)
  - CH<sub>4</sub>, H<sub>2</sub>, H<sub>2</sub>O, CO
- 황화물 광상에서 발생되는 가스(Gases generated in sulfide deposit)
  - H<sub>2</sub>S, COS, SO<sub>2</sub>

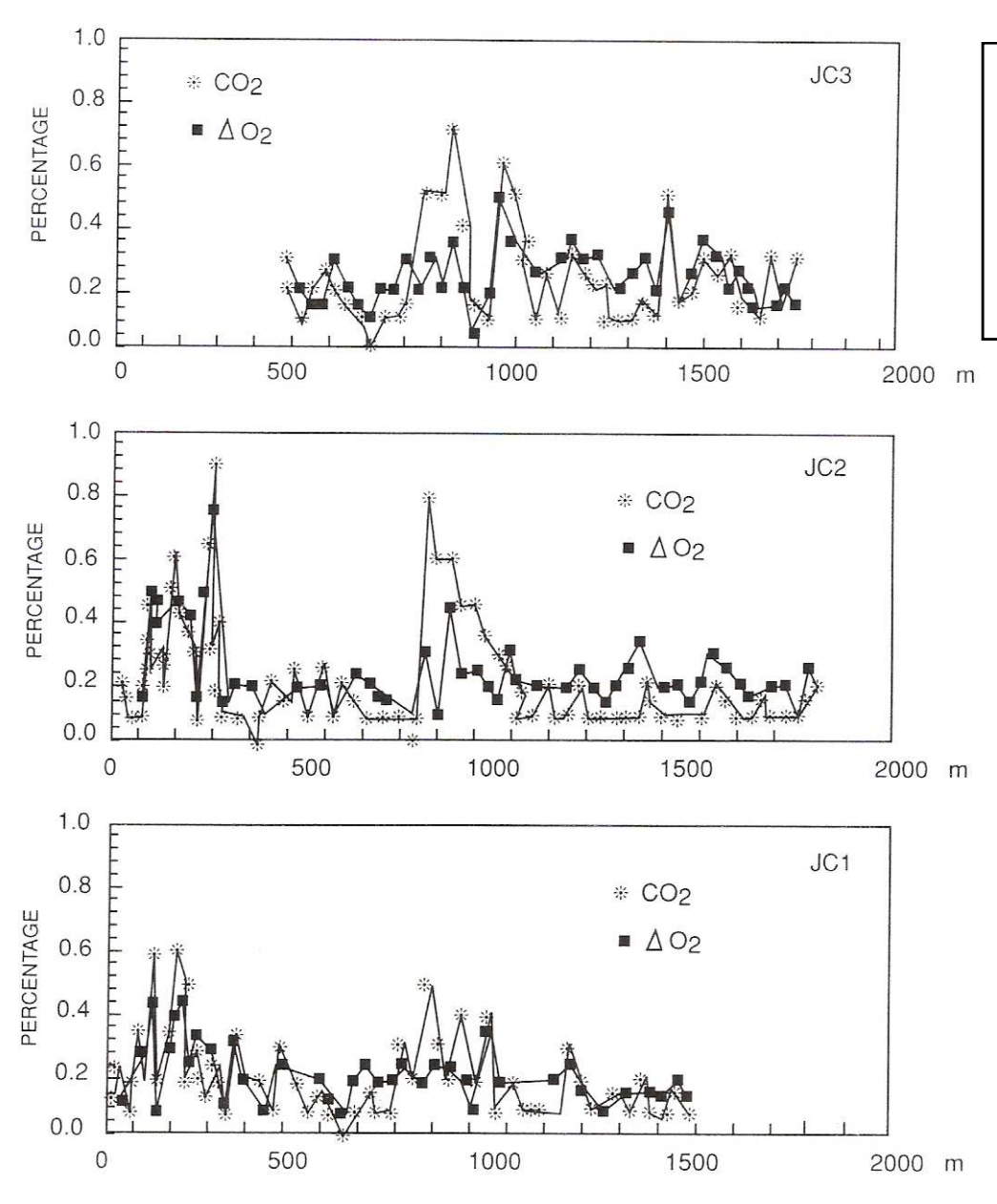
## 가스지구화학 탐사 사례

- 토양가스 중 이산화탄소(CO<sub>2</sub>)의 함량을 이용한 황화광상의 탐사
  - 1960년대 후반 이후 잠두 황화광상을 찾기 위해 많은 연구가 수행됨 (Glebovskaya, 1969; Dadashev et al., 1971; Fridman and Petrov, 1976; Lovell and Reid, 1990)
  - 미국 Arizona 북구 콜로라도 고원을 대상으로 한 사례 연구

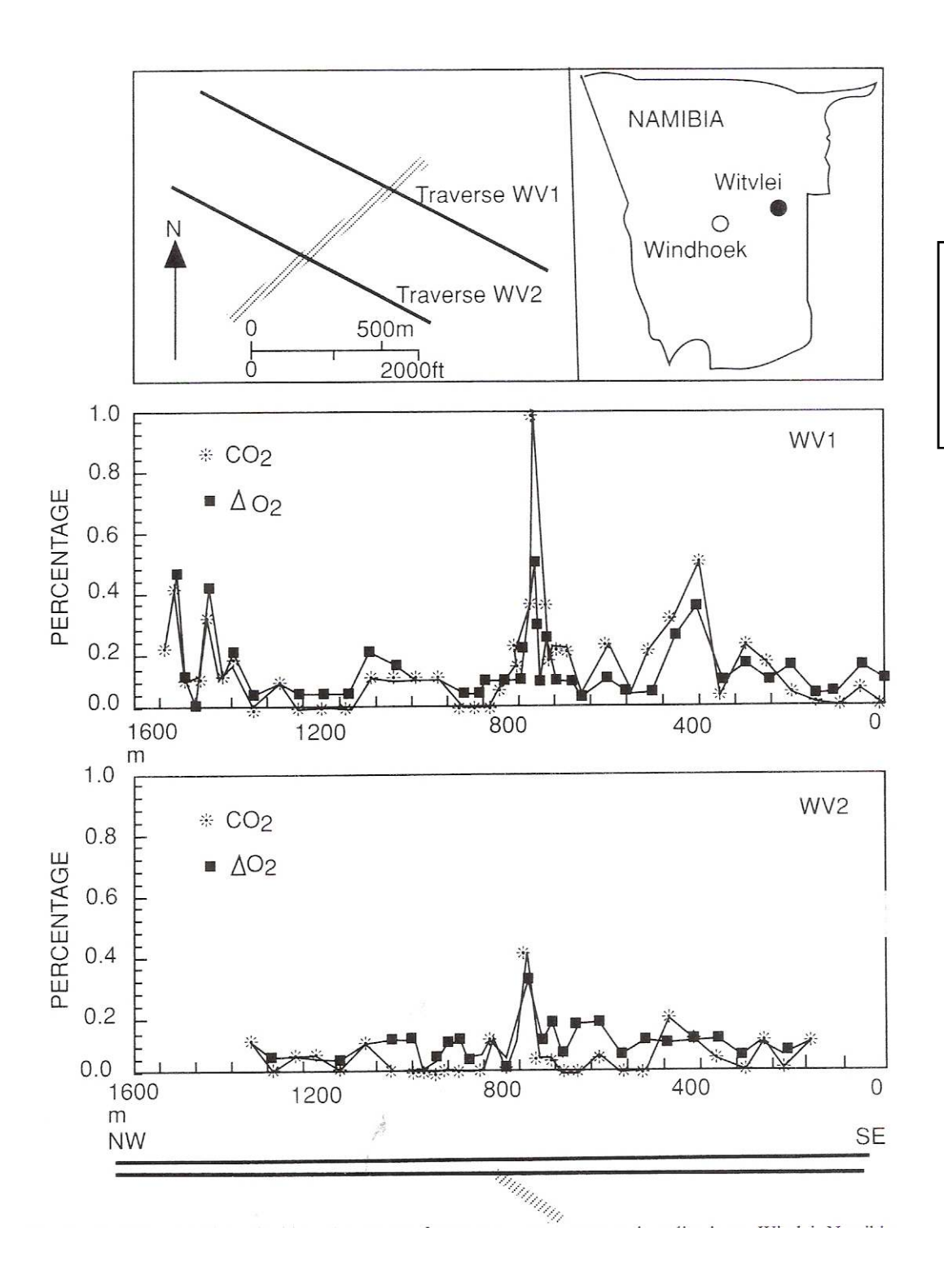
Arizona의 광화된 각력파이프 상부의 토양 가스 중에 함유된 CO<sub>2</sub> 함량



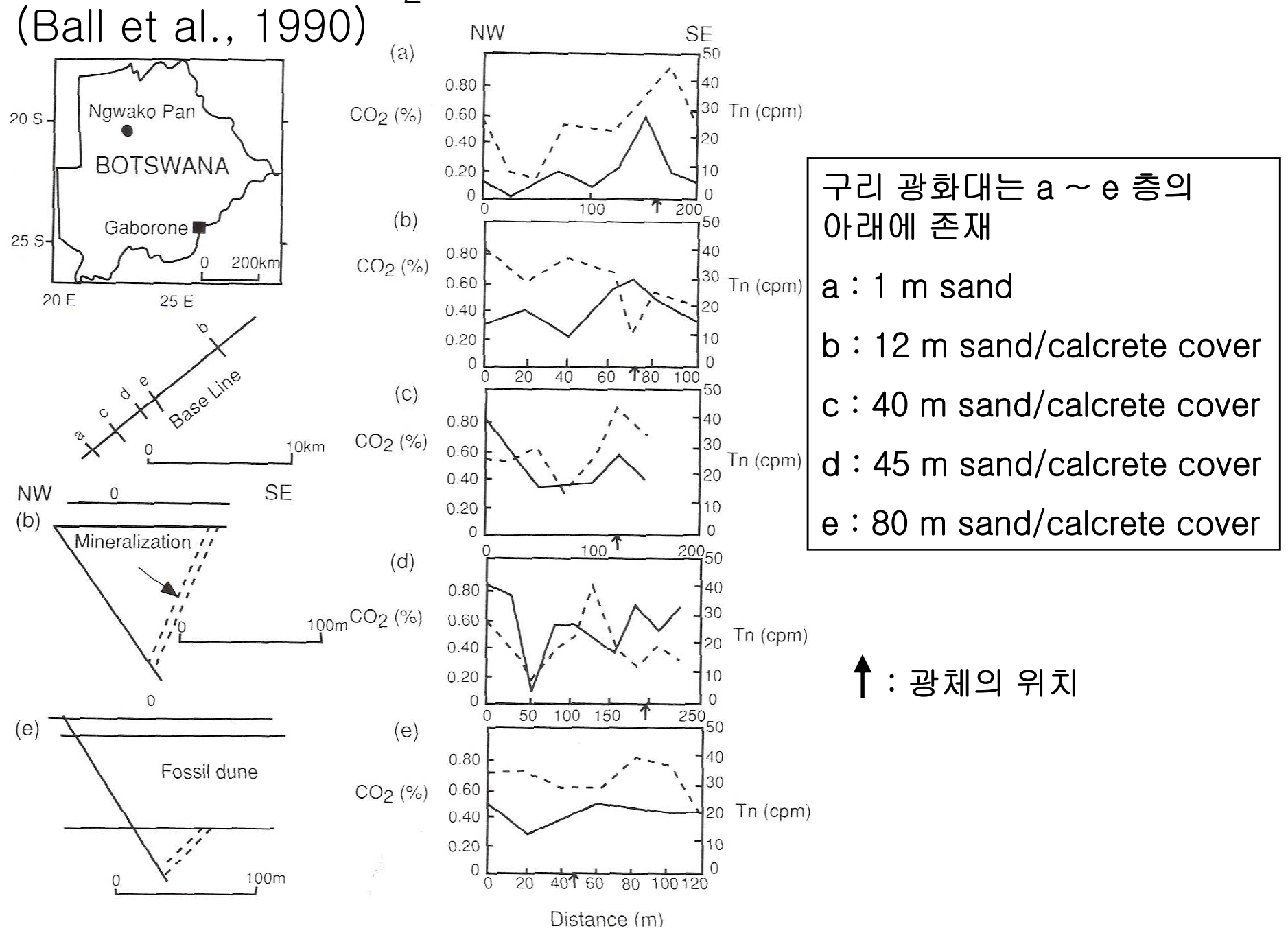
## 토양 가스 중 $CO_2$ 와 $\Delta O_2$ 을 이용한 광상 탐사 (Lovell et al., 1983)



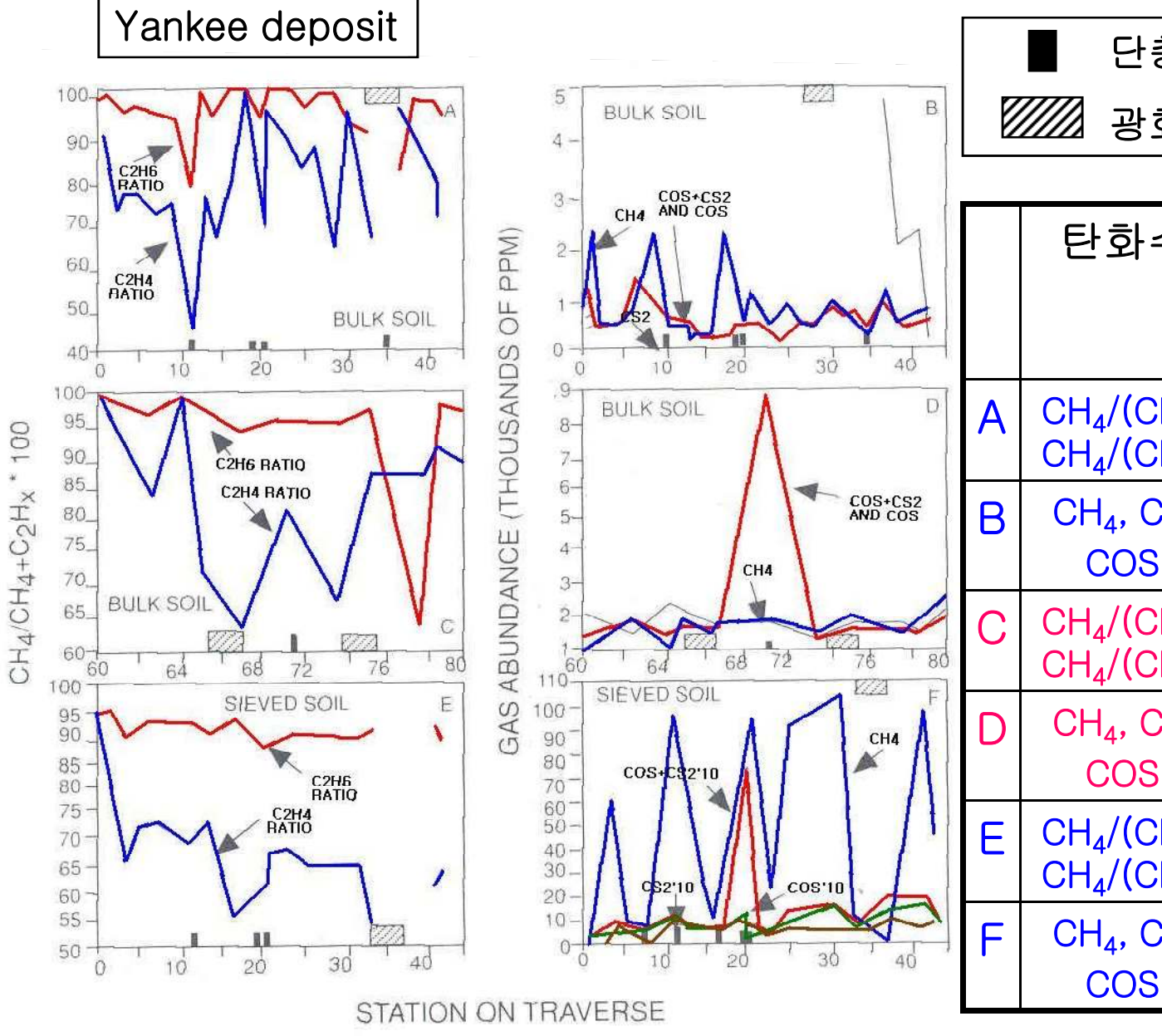
미국 아리조나 주 구리-아연 광화 지역 (Johnson camp)에서 조사한  $CO_2$  및  $\Delta O_2$  자료이며 지하 60 m에 존재하는 광화대 위에서도 이상대가 관찰됨



나미비아 Witvlei의 구리 광화 지역에서 조사한  $CO_2$  및  $\Delta O_2$  자료이며 이상대가 관찰됨 (Lovell et al., 1983) 토양 가스 중 CO2와 thoron을 이용한 광상 탐사



토양 가스 중 탄화수소 농도와 비율을 이용한 광상 탐사 (Kesler et al., 1990)



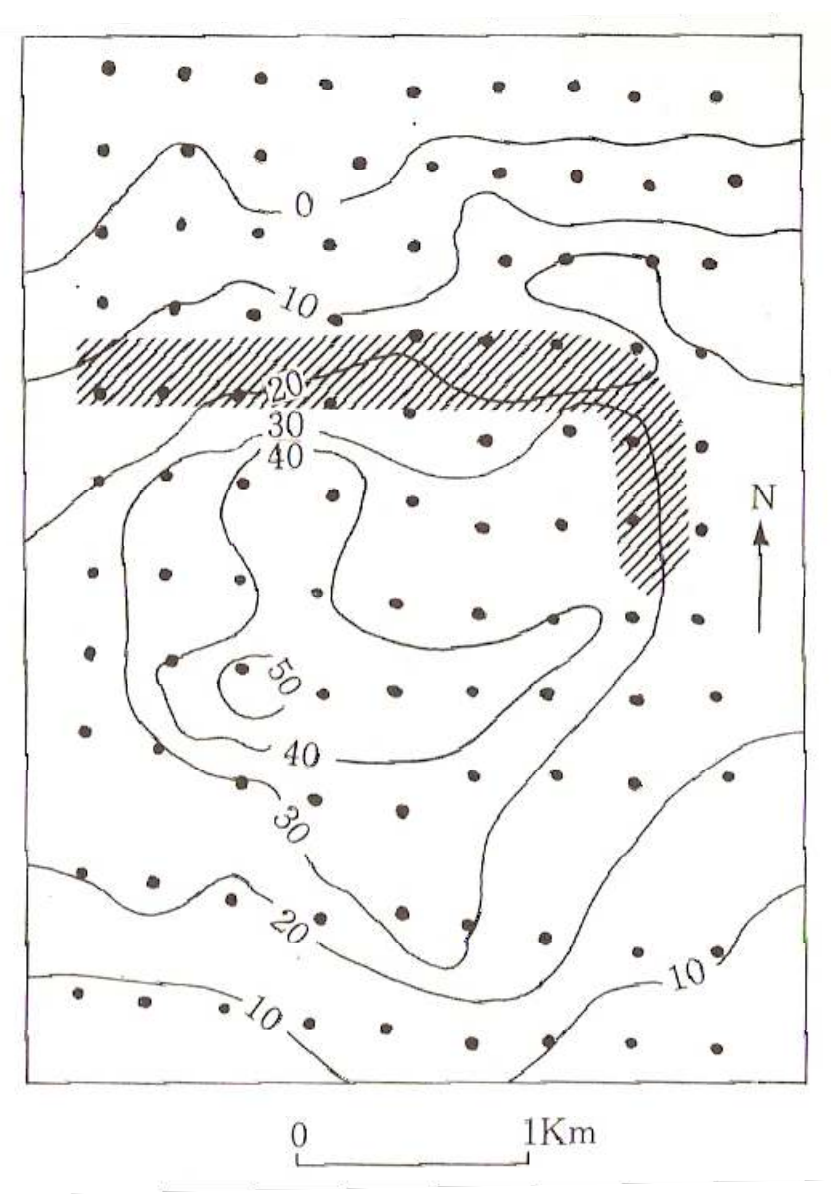
단층지역 광화지역

남북방향 동서방향

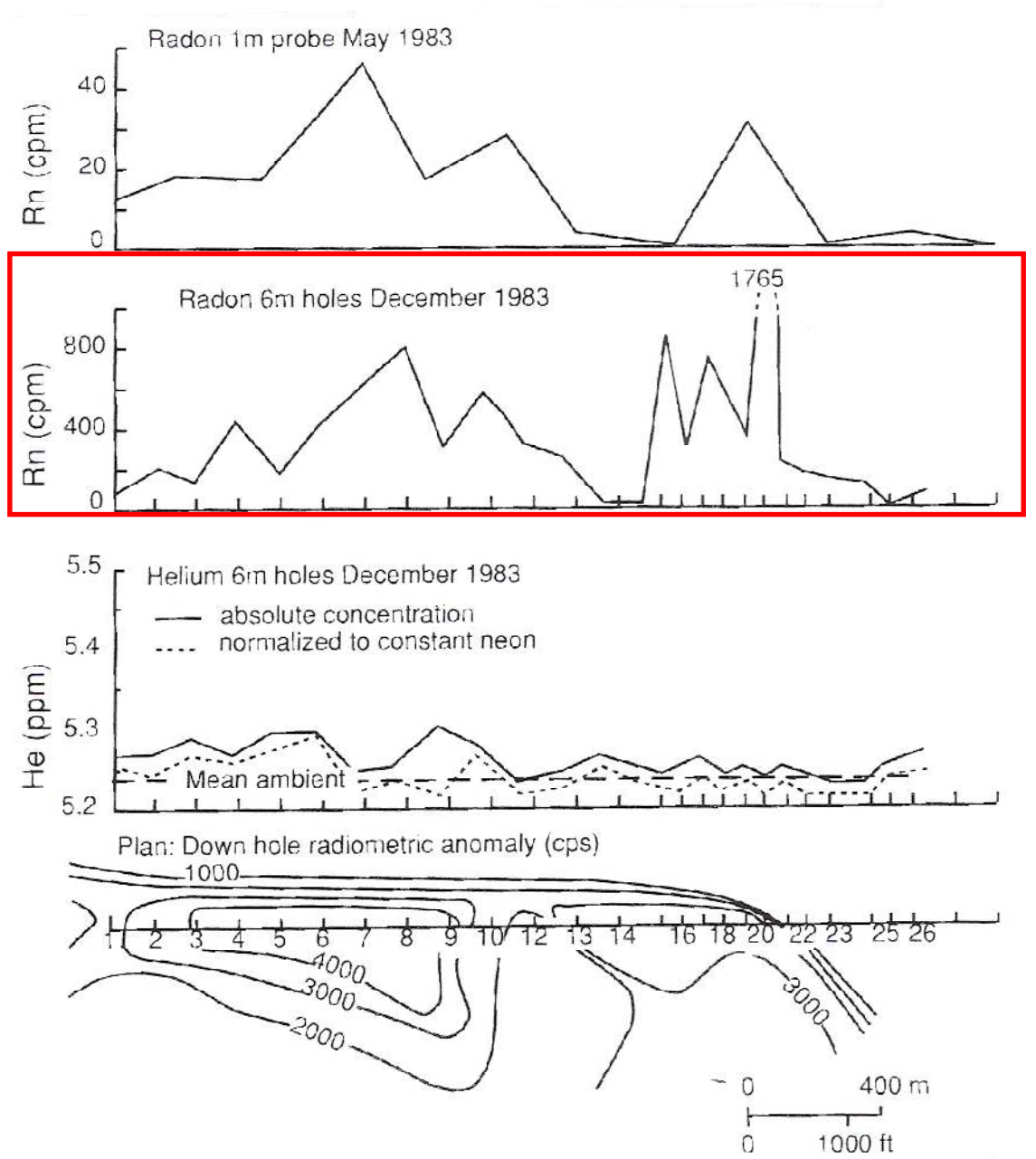
	탄화수소 비	버 ö	탈착 온도 (°C)
Α	$CH_4/(CH_4+C_2H_4)$ $CH_4/(CH_4+C_2H_6)$	Bulk	70
В	$CH_4$ , $COS$ , $CS_2$ $COS + CS_2$	Bulk	70
С	$CH_4/(CH_4+C_2H_4)$ $CH_4/(CH_4+C_2H_6)$	Bulk	70
D	$CH_4$ , $COS$ , $CS_2$ $COS + CS_2$	Bulk	70
Ε	CH <sub>4</sub> /(CH <sub>4</sub> +C <sub>2</sub> H <sub>4</sub> ) CH <sub>4</sub> /(CH <sub>4</sub> +C <sub>2</sub> H <sub>6</sub> )	체질	125
F	CH <sub>4</sub> , COS, CS <sub>2</sub> COS + CS <sub>2</sub>	체질	125

#### 토양가스 중의 헬륨(He) 함량을 이용한 우라늄 탐사

- 미국 Colorado의 Weld County에 위치하는 두루마리형(roll-type) 우라늄 광상에서 가스지구화학 탐사의 적용 가능성이 검토됨 (Reimer et al., 1979)
- 빗금 친 지역이 두루마리 광체이며 지하수의 흐름으로 남쪽 약 1.5km 떨어진 지점에 이상대가 나타남

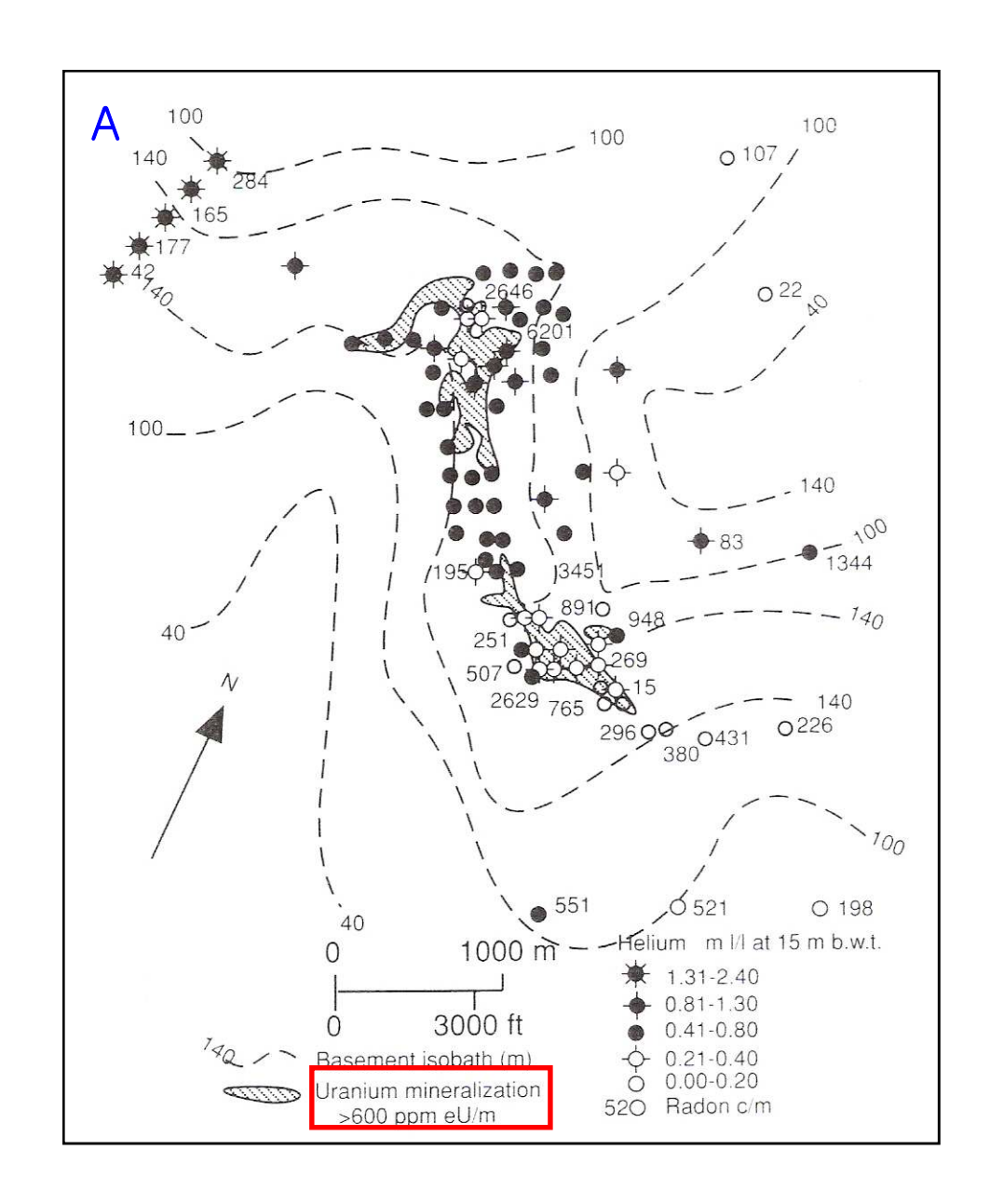


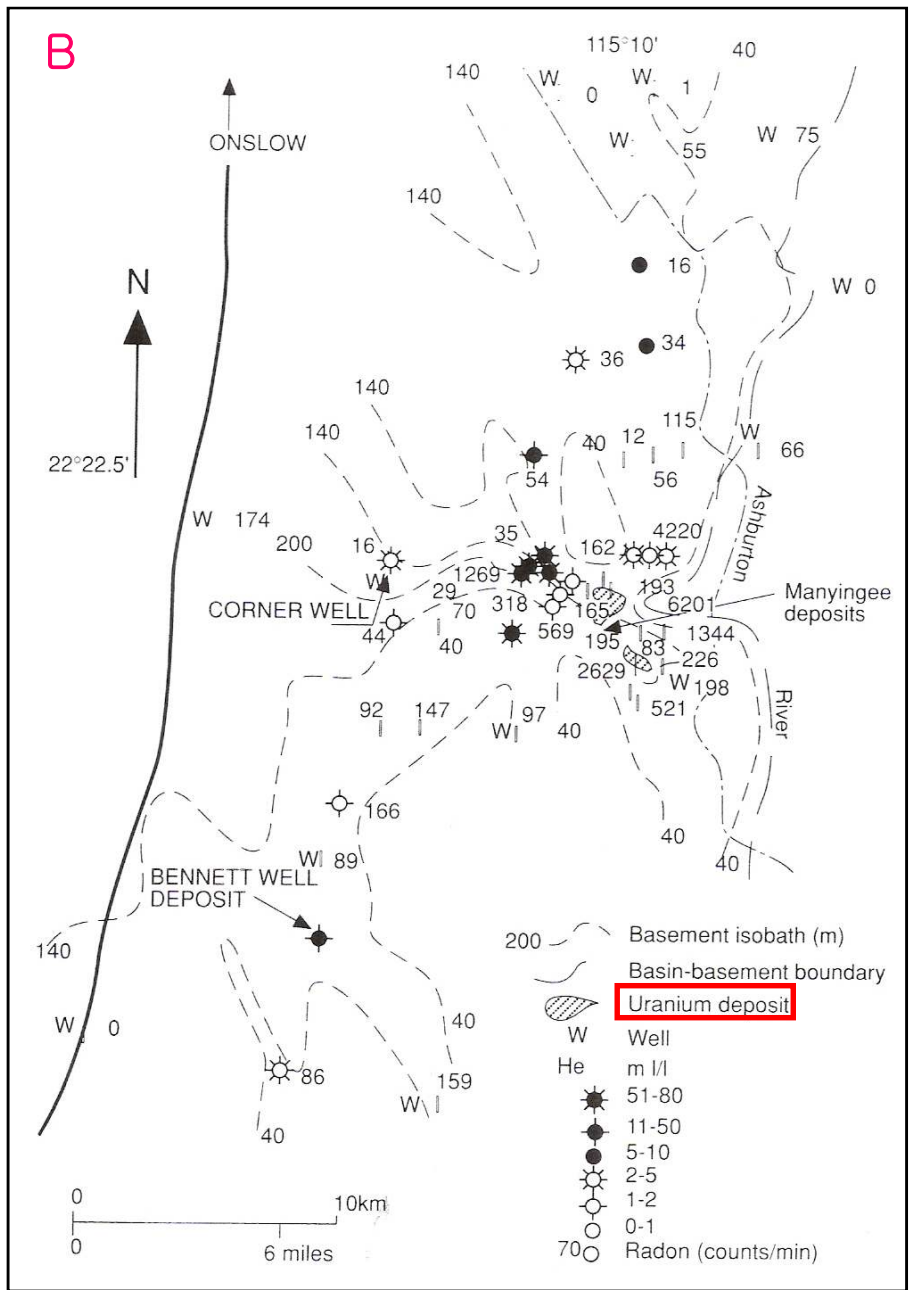
호주 서부 Mulga Rock prospect의 우라늄 광화대에서 토양 가스 중 He과 Rn 농도 조사 (Butt and Gole, 1985)



호주 서부, Manyingee 우라늄 광상 근처(A)와 Manyingee-Bennett well 지역(B)의 탐사 시추공과 stock well에서 채수한 지하수 시료에서의 He과 Rn 농도 조사 (Butt and Gole,

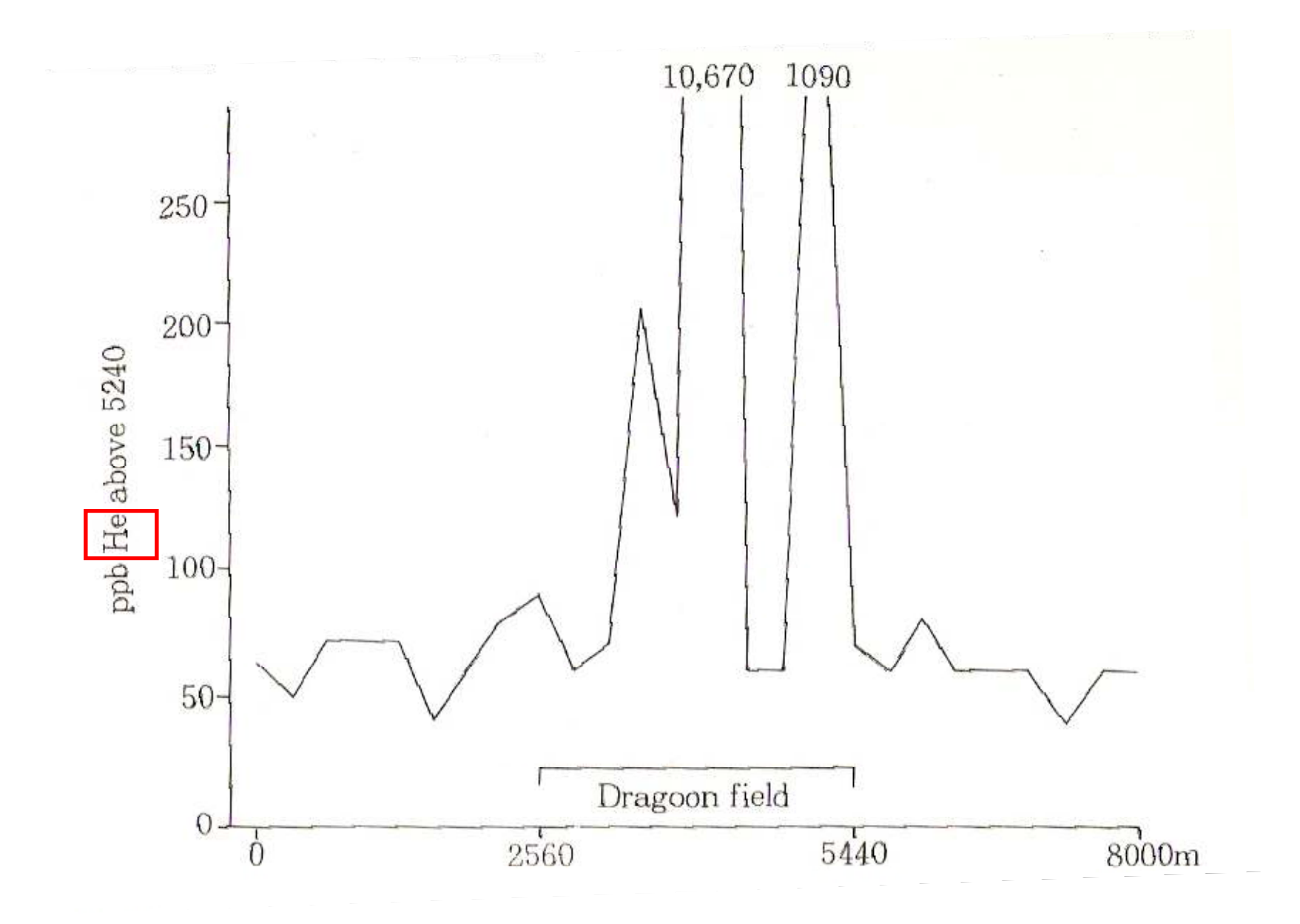
1985)





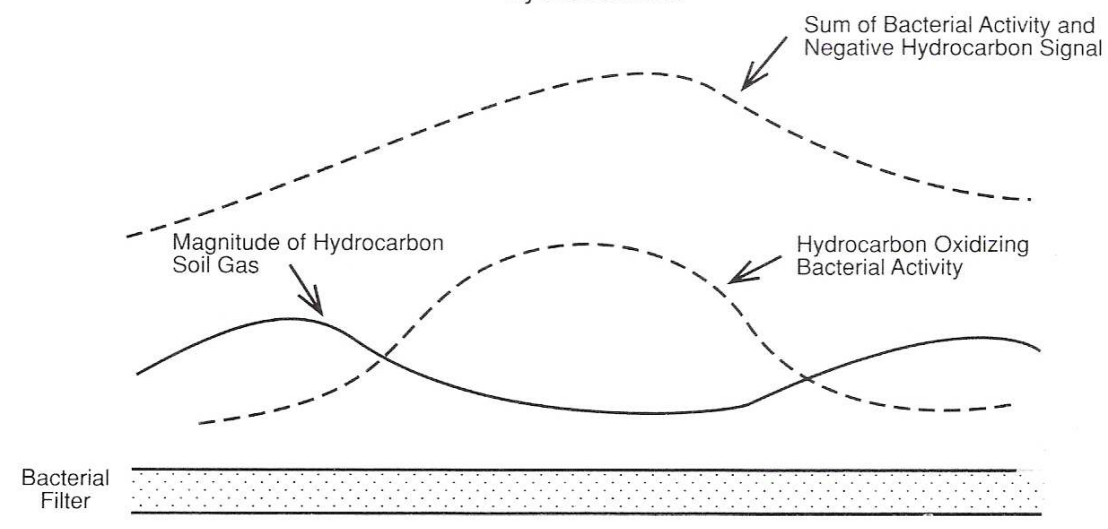
## 토양가스 중의 헬륨, 유황 및 탄화수소를 이용한 석유 탐사

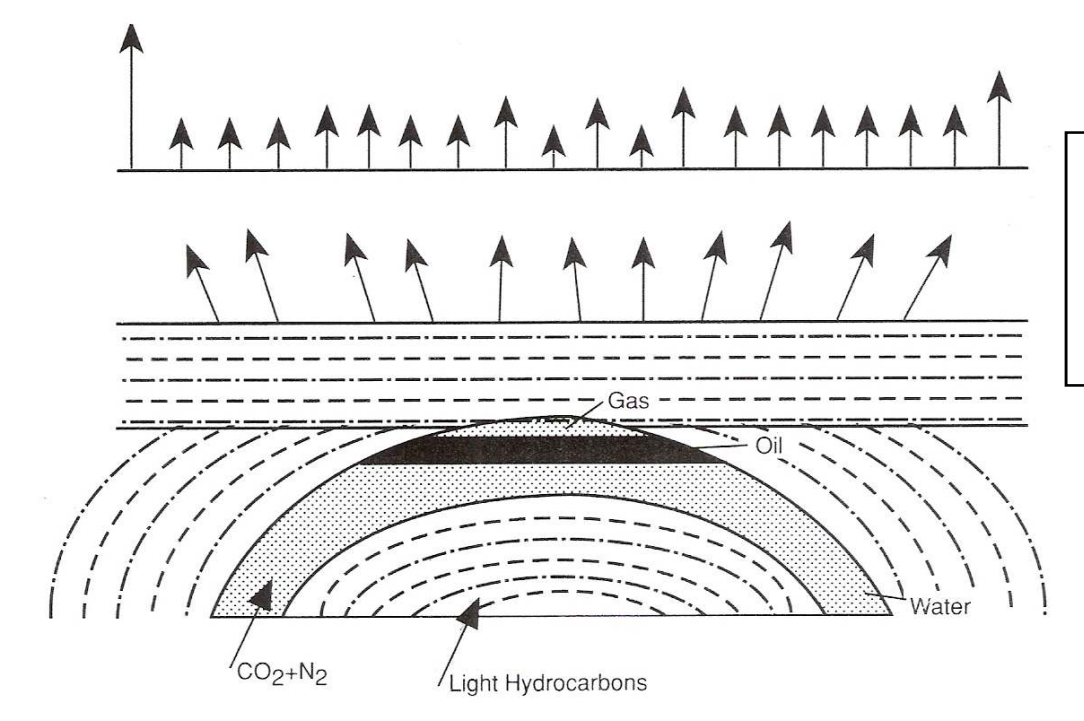
- 미국 Dragoon 유전의 석유는 약 2300m의 심도에 위치하여 시추를 통해 탐사하기 어려움
- 가스정 상부에 있는 표토와 50cm(18inch) 깊이의 토양 중에 있는 휘발성 탄화수소와 유황의 함량변화를 조사하였으며 가스정 상부의 토양가스에서 He 함량을 측정



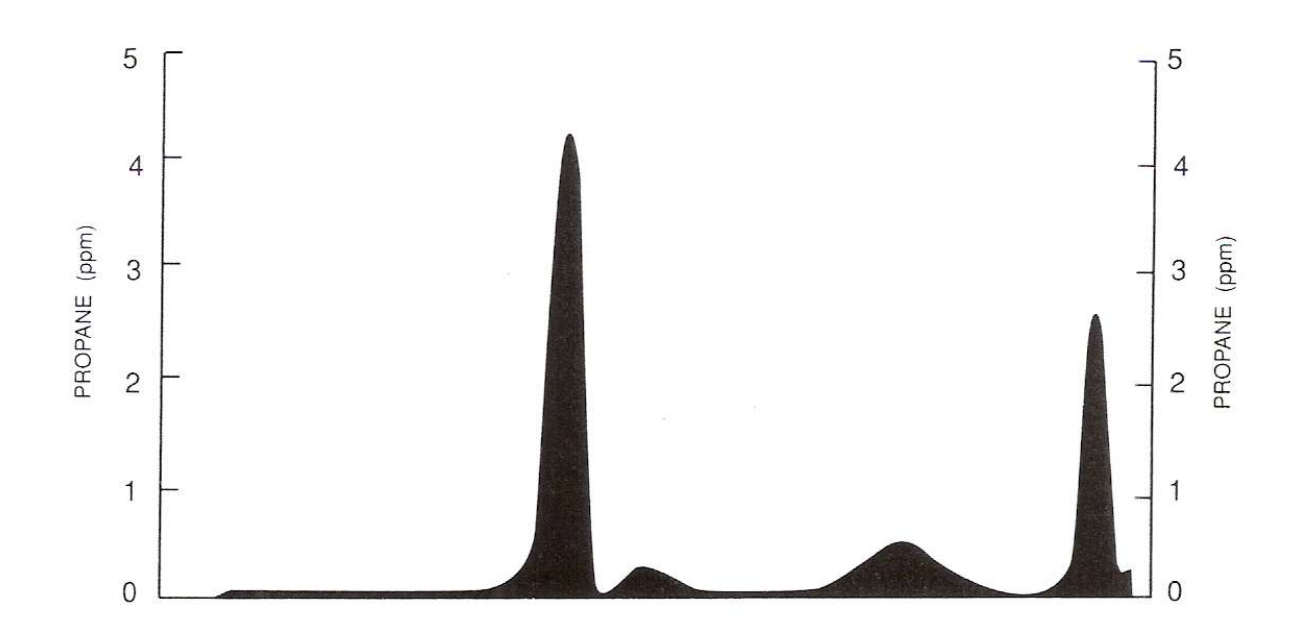
#### 토양 가스 중 탄화수소를 이용한 석유 탐사 (Richers, 1985)

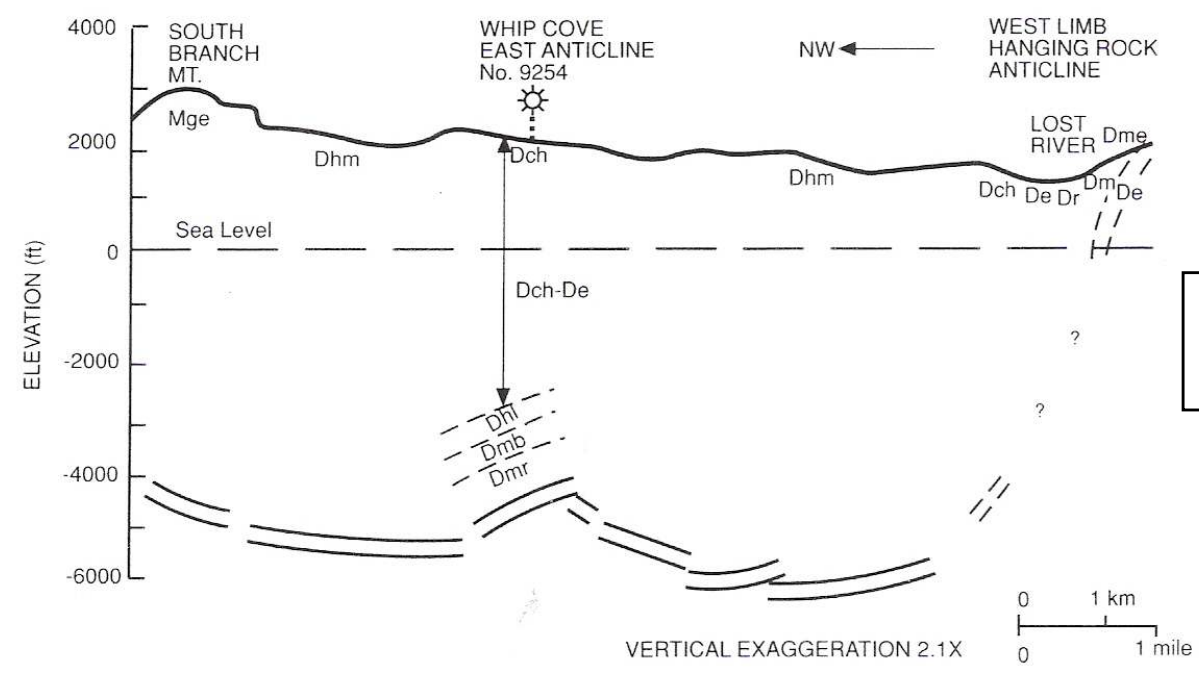
Idealized Model of Bacterial Effect on Adsorbed Soil Gas Hydrocarbons





탄화수소를 산화시키는 미생물의 활동이 많은 지역에는 지표 근처의 토양가스 중 탄화수소의 함량이 적음

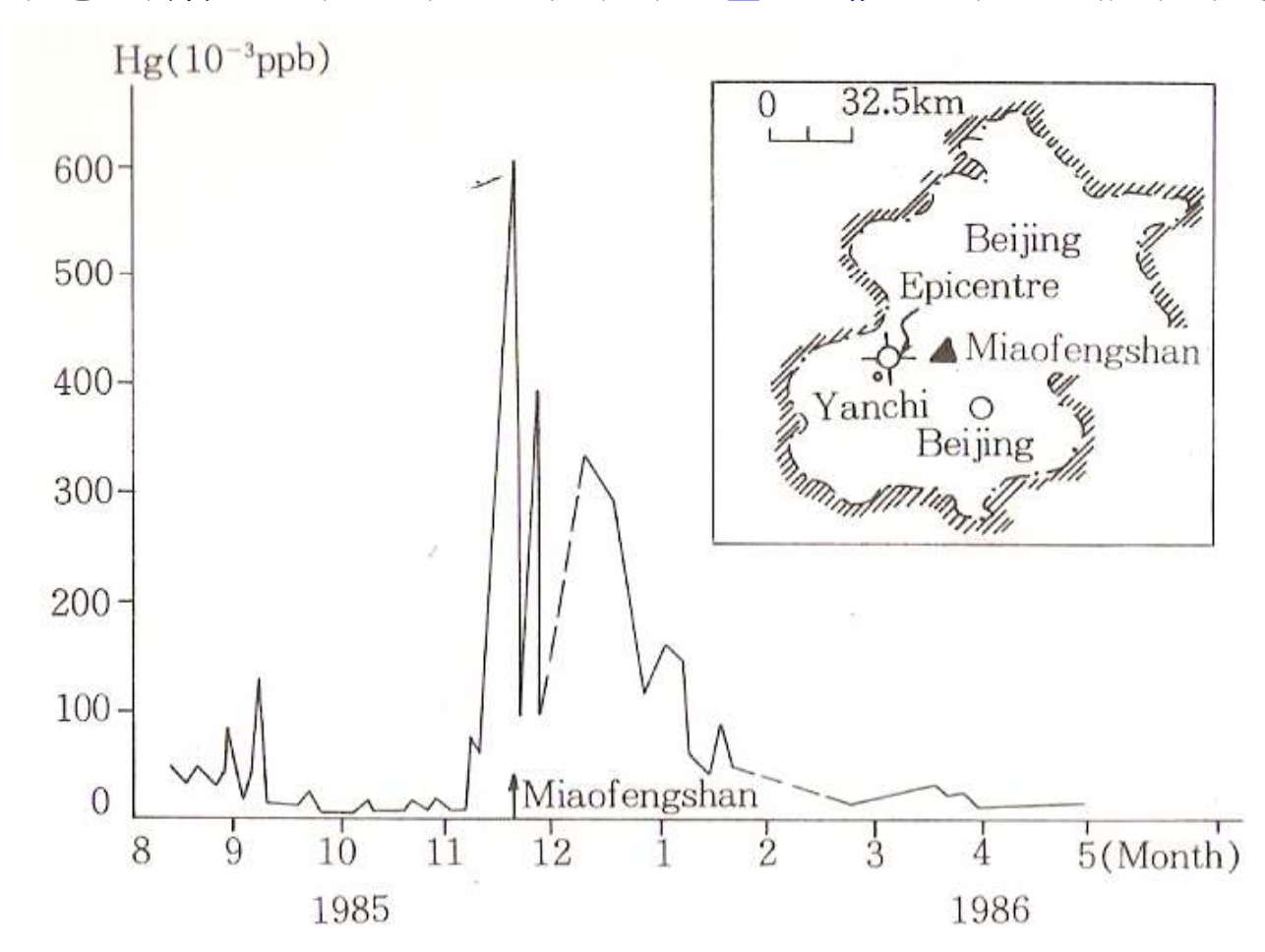




미국 West Virginia의 노두 위로 propane이 고농도로 나타남

#### 지하수 중의 수은(Hg) 함량 변화를 이용한 지진의 예측 (Jin et al., 1989)

- 지진을 예측하는데 있어서 1960년대 후반부터 Rn, He, Ar, CO<sub>2</sub>, CH<sub>4</sub>,
   H, Hg 같은 기체의 이용 가능성이 검토
- Beijing시의 서부 Miaofengshan 지역에서 지진 발생 10일 전부터 Hg 함량이 증가였고 지진이 일어나기 2일전에는 약 45배까지 증가

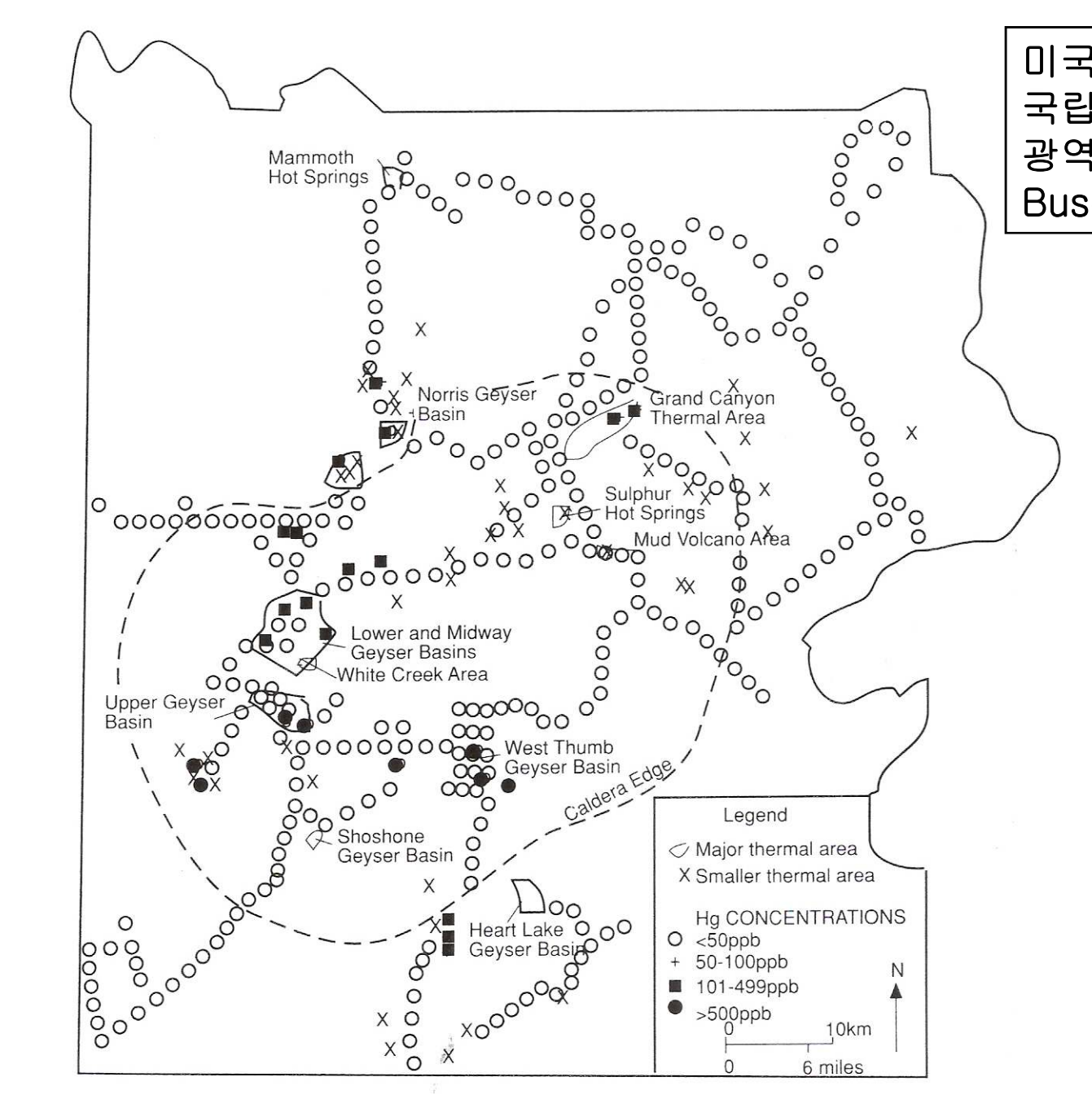


# 2000 feet 610 meters Background: 29ppb Threshold: 58ppb Contour intervals: 50, 100, 200, 400, 800, 1600, 3200ppb

## 지열탐사에의 응용

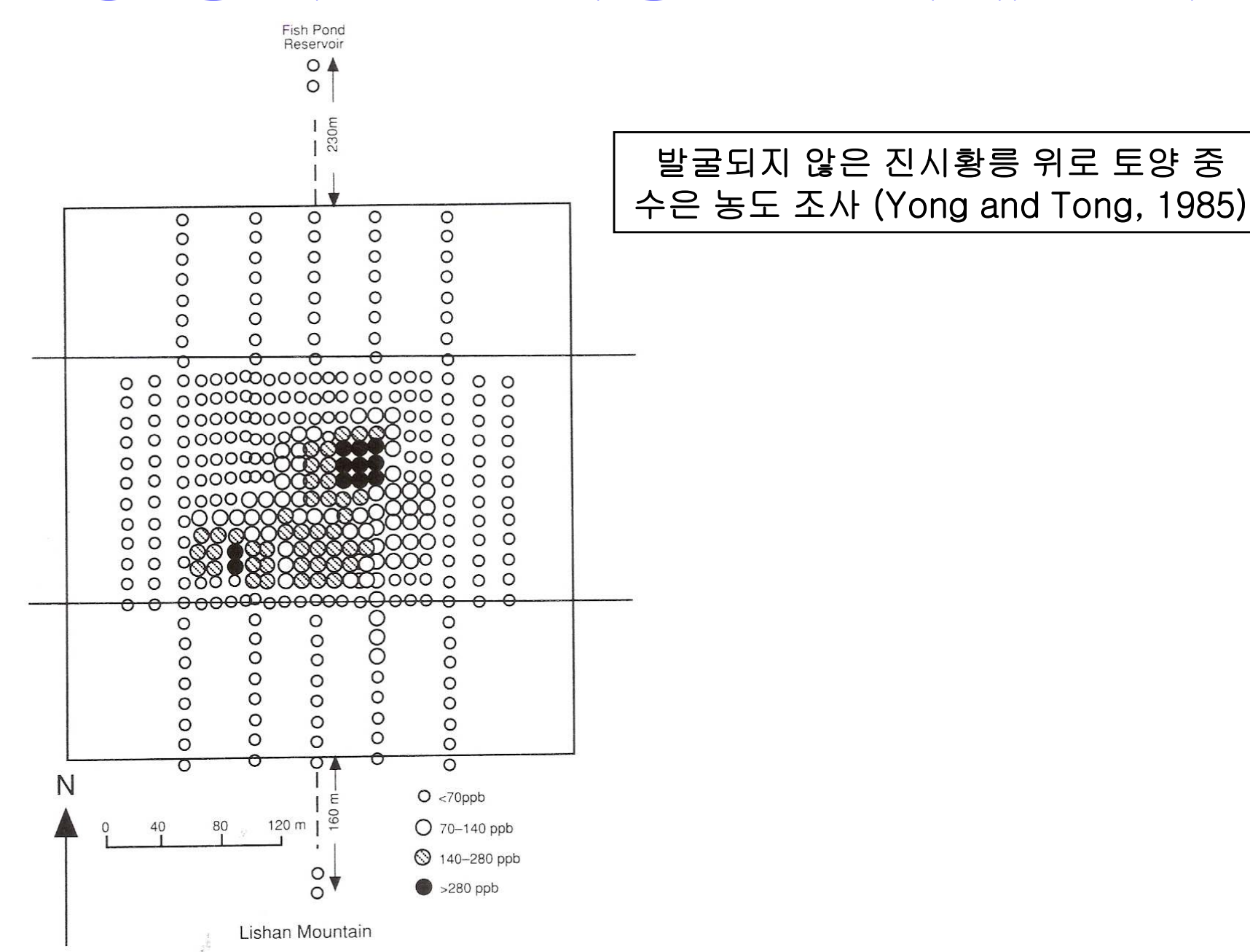
온도가 200℃ 이상인 지열 시스템의 경우 광물학적 및 지구화학적 특성이 현저하여 암석 중의 주성분원소 및 미량원소의 함량 분포가 변화함

미국 Utah주 Roosevelt Hot Springs의 지열지대에서 토양 중의 Hg 배경값은 29ppb이고 최대 배경값은 58ppb였으며 특히 토양 중의 Hg 함량이 20ppb인 등함량 곡선이 215℃의 등온지열선과 잘 일치함



미국 와이오밍주 옐로우스톤 국립공원에서 Hg을 이용한 광역 지열탐사 (Phelps and Buseck, 1980)

### 토양 중 수은을 이용한 문화재 탐사



## 6. 해저광물지구화학 탐사

#### • 해저광물지구화학 탐사법

#### 1. 수중 TV 카메라

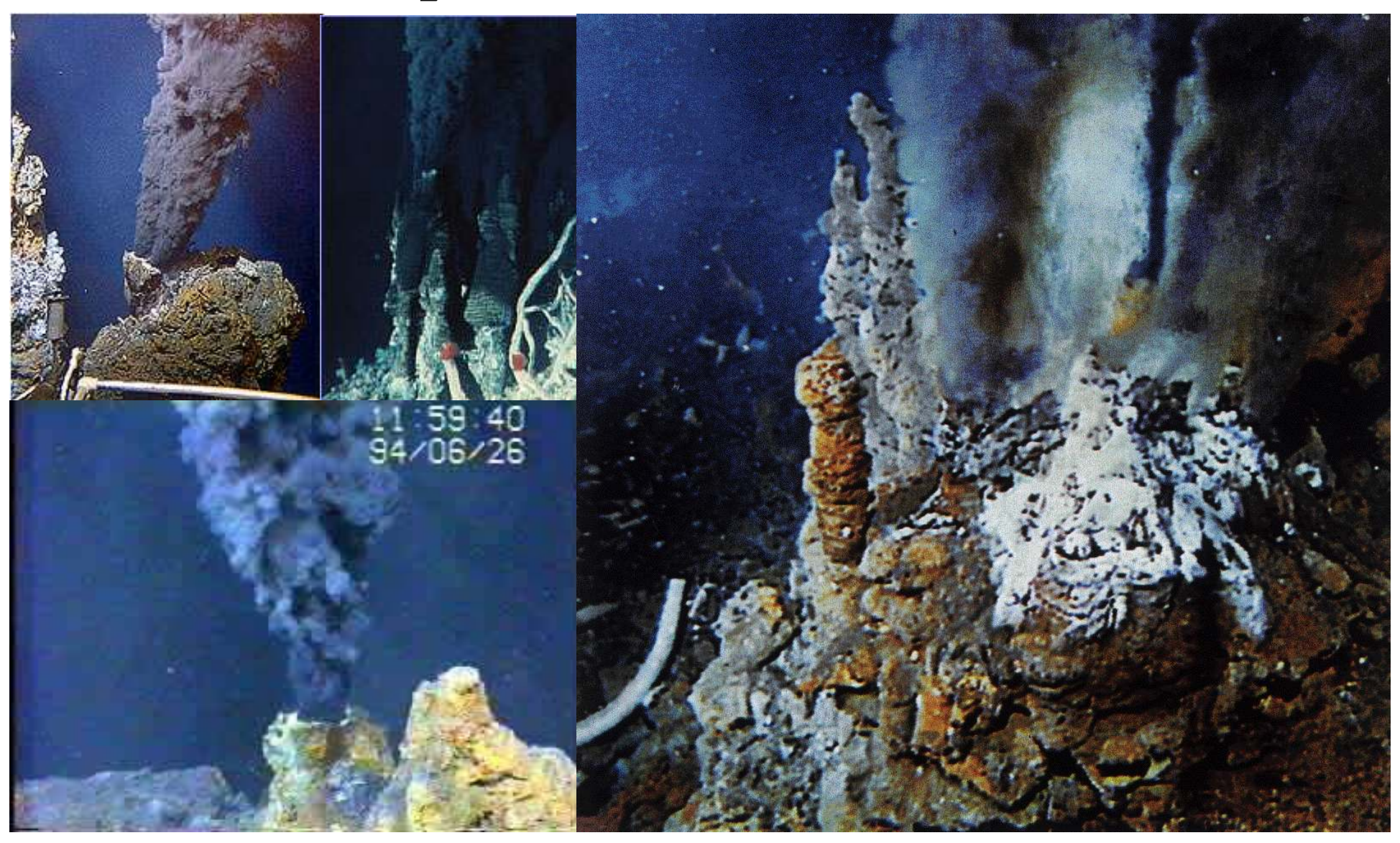
- 1979년, John Edmond 등이 9,000' 심도의 Alvin Baja California N21에 내려가 black smoker를 발견
- 1983년, Steve Scott 등이 지진 조사 및 crater of undersea volcano를 찾기 위해 미국 Oregon주 해안에서 떠나 태평양 심해로 이동

#### 2. 시료채취

- 준설(dredging): surface deposit (nodule or placers)
- 시추(coring): sea floor sediment의 section corer

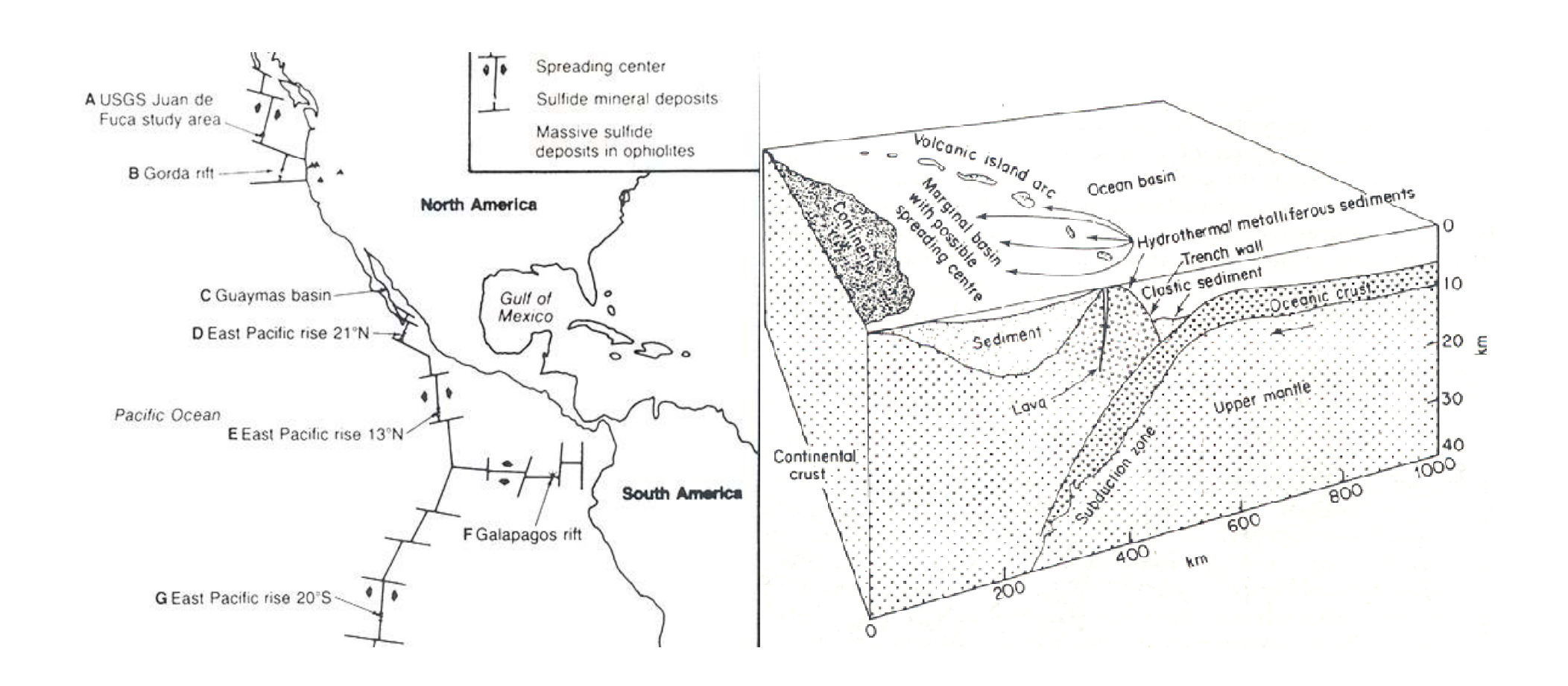
## Black Smoker

Hydrothermal H<sub>2</sub>S-rich hot fluids



## 해저광물지구화학 탐사 대상 지역

- Mid-Ocean Ridge
  - Spreading center
- Island Arc
  - Subduction zone



## Mineralogical composition of seafloor polymetallic sulfide deposits (Herzig and Hannington, 1995)

	Mid-Ocean Ridge Deposits	Back-Arc Deposits
Fe-sulfides	Pyrite, marcasite, pyrrhotite	Pyrite, marcasite, pyrrhotite
Zn-sulfides	Sphalerite, wurtzite	Sphalerite, wurtzite
Cu-sulfides	Chacophyrite, isocubanite	Chacophyrite, isocubanite
Silicates	Amorphous silica	Amorphous silica
Sulfates	Anhydrite, barite	Anhydrite, barite
Pb-sulfides		Galena, sulfosalts
As-sulfides		Orpiment, realgar
Cu-As-Sb-sulfides		Tennantite, tetrahedrite
Native metals		Gold

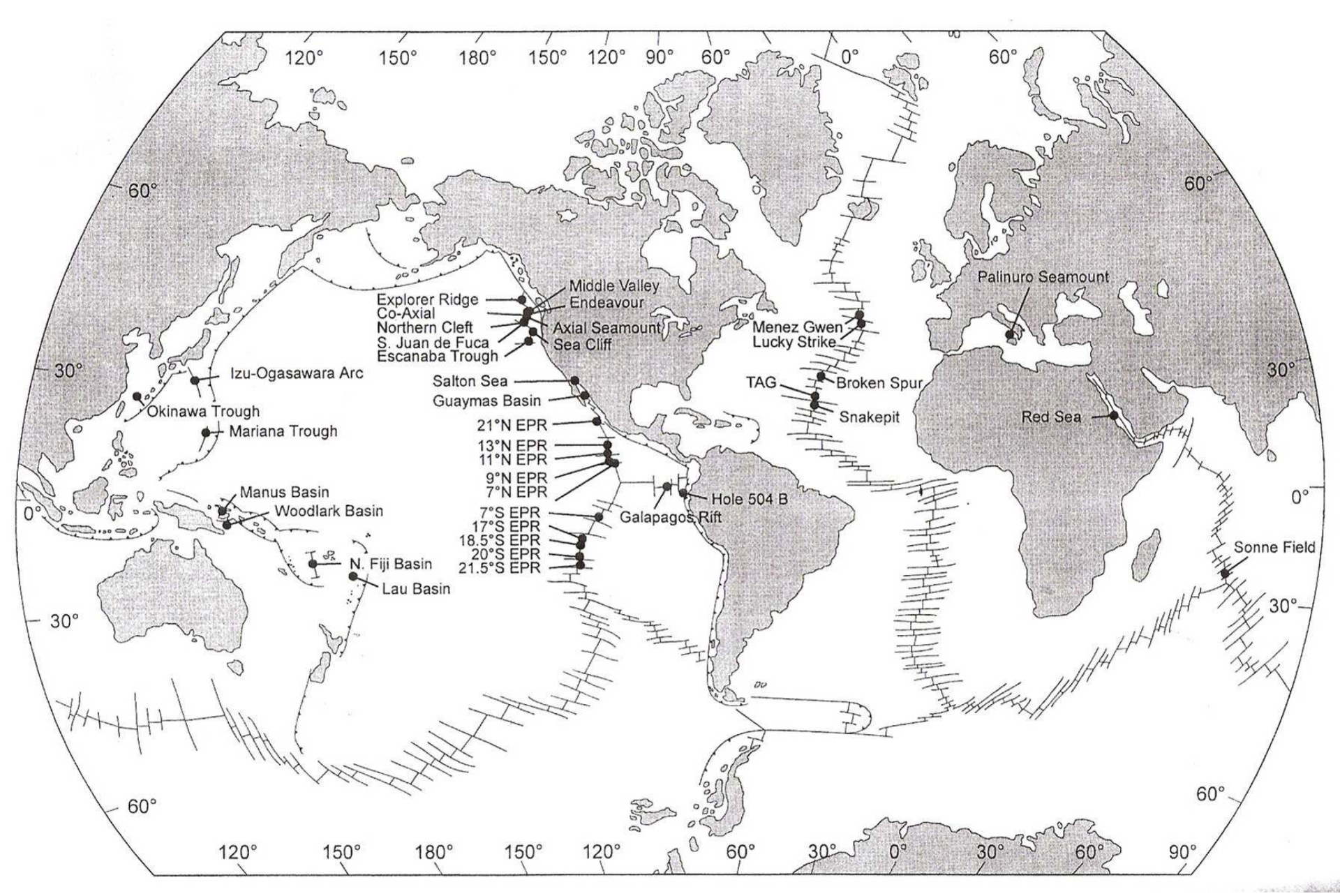
## Bulk chemical composition of seafloor polymetallic sulfides (Herzig and Hannington, 1995)

Element	Mid-Ocean Ridge	Intraoceanic Back-Arc Ridge	Intracontinental Back-Arc Ridge
Pb (wt. %)	0.2	1.2	11.5
Fe	23.6	13.3	7.0
Zn	11.7	15.1	18.4
Cu	4.3	5.1	2.0
Ва	1.7	13.0	7.2
As (ppm)	300	1,000	15,000
Sb	100	100	3,000
Ag	140	195	2,766
Au	1.2	2.9	3.8
(N)	890	317	28

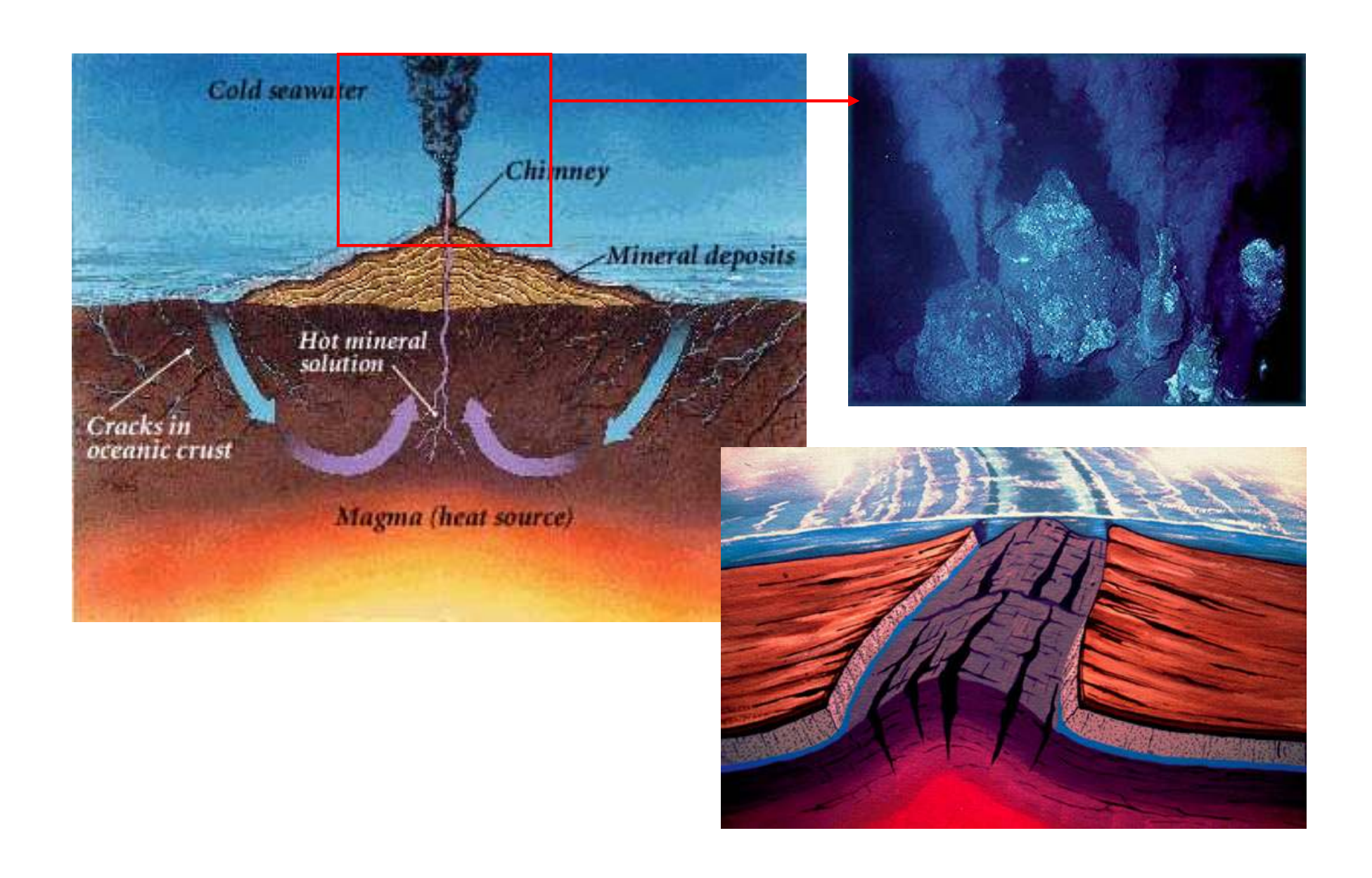
# Chemical composition of hydrothermal fluids at mid-ocean ridge and in backarc areas (Herzig and Hannington, 1995)

	Mid-Ocean Ridge	Back-Arc Ridge	
Zn (ppm)	5.5	196	
Cu	1.4	2.2	
Ва	1.4	5.4	
As (ppb)	17	450	
Pb	54	808	
T [°C]	350	334	
рН	3.6	2.0	

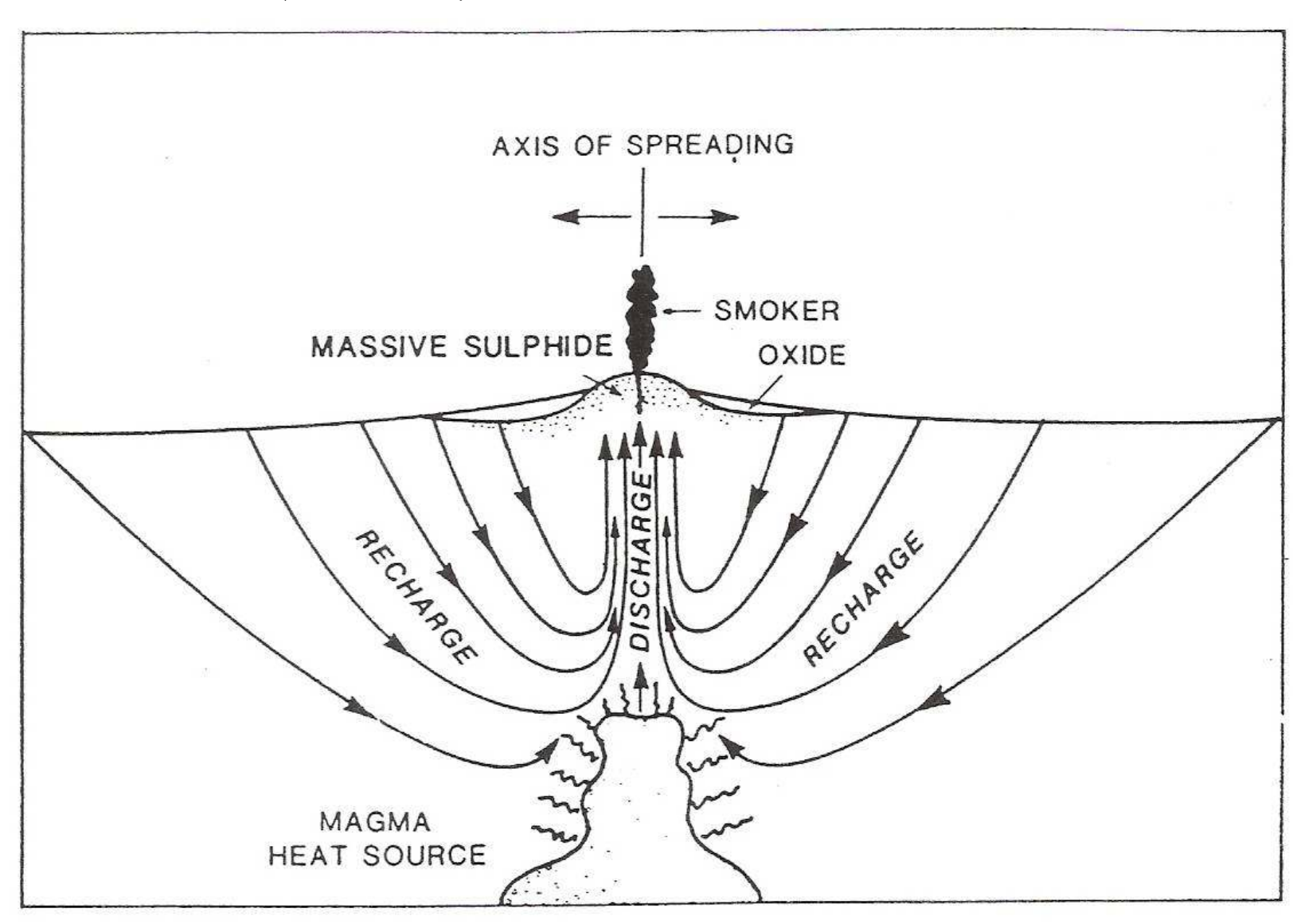
## Mid-Ocean Ridge



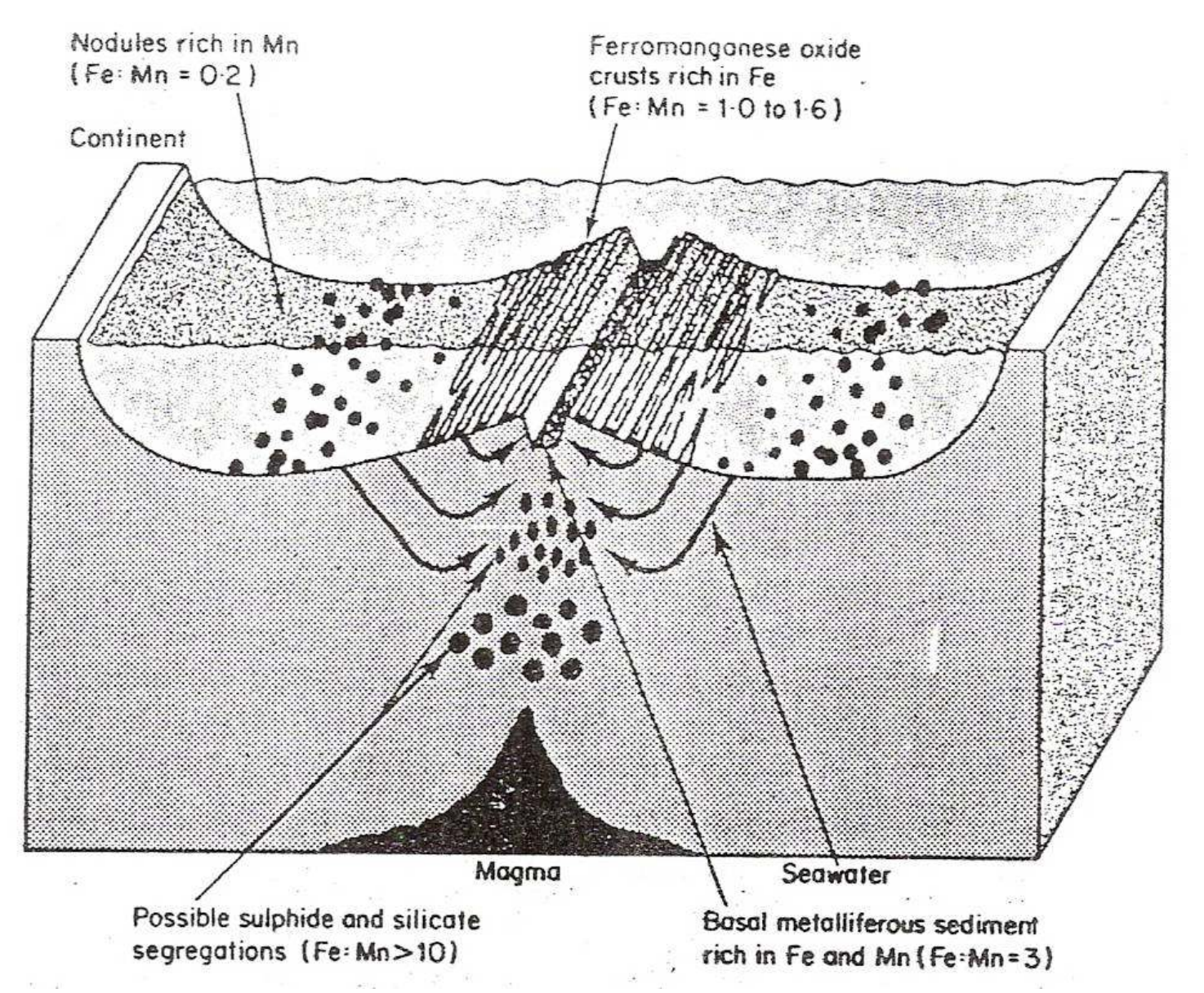
## Mid-Ocean Ridge



# Spreading center에서 해수 순환 모식도 (Koski et al., 1982)



# Fe/Mn ratios in the ferromanganese continuum and associated deposits



## 망간 단괴



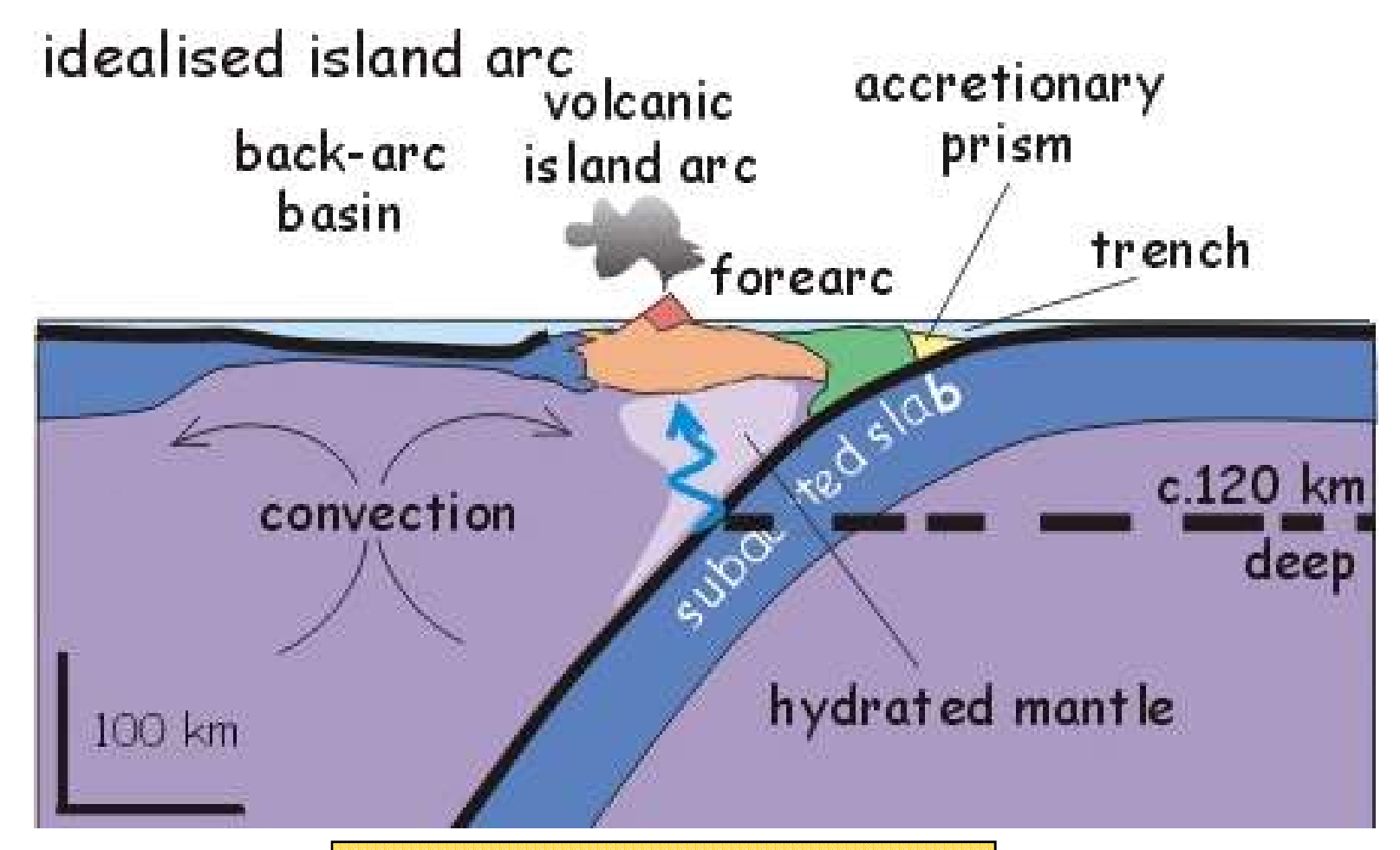






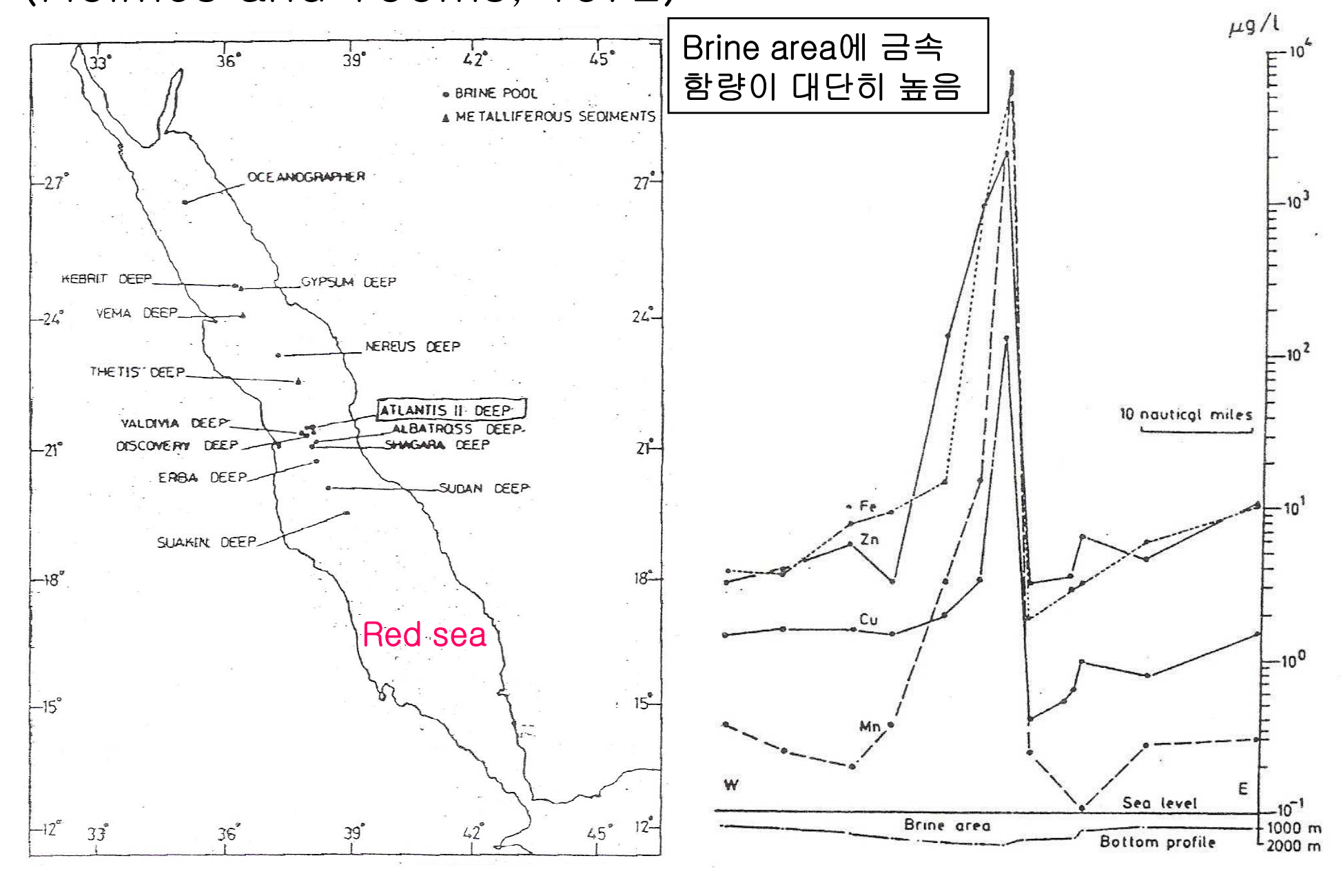
해저 망간 단괴

### Island arc



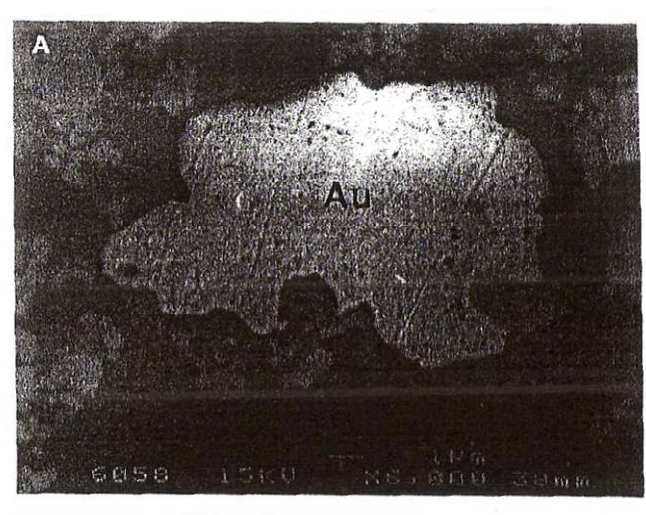
Within 200 miles of island (EEZ)
Contain two setting
Same sort on mid-ocean ridges
Contain Gold, Silver

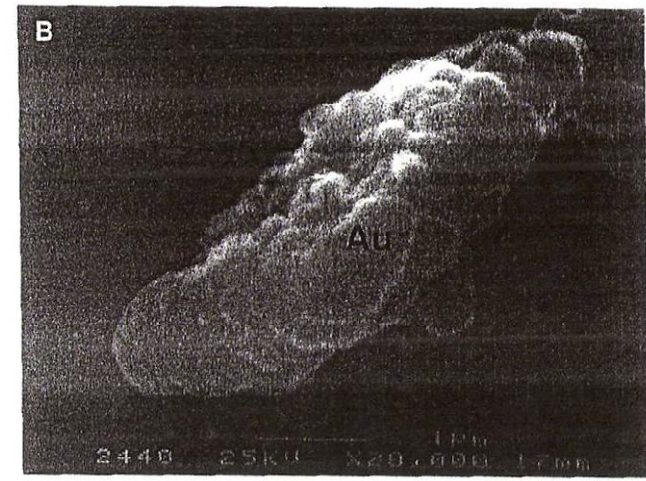
## Atlantis II Deep의 동서 방향 금속함량 (Holmes and Tooms, 1972)



## Gold grades in polymetallic massive sulfides from the modern seafloor (Herzig and Hannington, 1995)

	Au (ppm)		
	Range	Average	(N)
Immature Back-Arc Ridges (intermediate to felsic volcanics)			
Lau Basin	0.01-28.7	3.1	75
Okinawa Basin	0.60-24.0	3.8	28
Central Manus Basin	0.01-52.5	30.0	10
Eastern Manus Basin	1.30-54.9	15.0	26
Woodlark Basin	8.10-21.0	15.0	5
Mature Back-Arc Ridges (MOR-type volcanics)			
Mariana Trough	0.14-1.70	8.0	11
North Fiji Basin	0.01-4.30	2.2	17
Mid-Ocean Ridges (MORB)	0.01-6.70	1.2	890





A: Large gold grain (Au) as free inclusion in Fe-poor sphalerite

B: Gold grain (Au) composed of aggregates of submicron colloid-sized particles in a late fracture within sphalerite

## 참고 문헌

- 전효택(역), 1991, 광물탐사를 위한 암석지구화학 (G.J.S. Govett 지음), 기전연구사, 469p.
- Brooks, R.R. et al., 1995, Biological systems in mineral exploration and processing: Ellis Horwood, 538p.
- Gubins, A.G., 1997, Geophysics and geochemistry at the millenium : GEO F/X, 1068p.
- Hale, M. and Plant, J.A., 1994, Drainage geochemistry: Elsevier, 766p.
- Klusman, R.W., 1993, Soil gas and related methods for natural resource exploration: Wiley, 483p.
- Levinson, A.A., 1980, Introduction to exploration geochemistry: Applied Publishing Ltd., Wilmette, 924p.
- Pieters, C.M. and Englert, P., 1993, Remote geochemical analysis: Elemental and mineralogical composition: Cambridge, 594p.
- Rose, A.W., Hawkes, H.E. and Webb, J.S., 1979, Geochemistry in mineral exploration: Academic Press, London, 657p.
- Thonton, I. and Howarth, R.J.(ed.), 1986, Applied geochemistry in the 1980s: Graham and Trotman, London, 347p.